

$$v = \sum_{k=0}^{18} a_k x^k, \quad v' = \sum_{k=1}^{18} a_k k x^{k-1} = \sum_{k=0}^{18} a_{k+1} (k+1) x^k,$$

$$v'' = \sum_{k=2}^{18} a_k k(k-1) x^{k-2} = \sum_{k=0}^{18} a_{k+2} (k+2)(k+1) x^k$$

$$\Rightarrow \sum_{k=0}^{18} \left\{ a_{k+2} (k+2)(k+1) - 2a_k k + (\epsilon - 1) a_k \right\} x^k = 0$$

= 0 for alle k

$$\Rightarrow a_{k+2} = \frac{2k + 1 - \epsilon}{(k+1)(k+2)} a_k \quad ; \quad k = 0, 1, 2, \dots$$

- $a_0 = C_0$ og $a_1 = C_1$ fastlegges ved normering av hhv Ψ_0 og Ψ_1
- a_0 gir a_2, a_4, a_6, \dots
- a_1 gir a_3, a_5, a_7, \dots

Hvis disse to potensrekkene ikke bytter av, vil $\frac{a_{k+2}}{a_k} \approx \frac{2}{k}$ for store verdier av k. Da er

$$v(x) \sim e^{x^2} = 1 + x^2 + \frac{1}{2!} x^4 + \dots = \sum_{k=0,2,4,\dots} \frac{x^k}{(k/2)!}$$

for nå er

$$\frac{a_{k+2}}{a_k} = \frac{(k/2)!}{(\frac{k}{2} + 1)!} = \frac{1}{\frac{k}{2} + 1} \approx \frac{2}{k} \quad (\text{for store } k).$$

Men i såfall blir

$$\Psi(x) = v(x) e^{-x^2/2} \sim e^{x^2 - x^2/2} = e^{x^2/2} \xrightarrow{|x| \rightarrow \infty} \infty$$

som ikke er fysisk akseptabelt!

Konklusjon: Potensrekkene må bytte av.

Kun mulig dersom $2k+1 - \varepsilon = 0$, dvs $\varepsilon =$ et odde heltall. (64)

Dvs: Krav om fysisk akseptable løsninger har gitt energikvantisering.

$$\varepsilon_k = 2k+1 ; \quad k=0, 1, 2, \dots$$

$$\varepsilon_0 = 1 \Rightarrow a_2 = 0 \Rightarrow a_4 = a_6 = \dots = 0$$

$$\text{og } a_1 = a_3 = a_5 = \dots = 0 \quad (a_1 \neq 0 \text{ hindrer rekkeavbrudd})$$

$$\varepsilon_1 = 3 \Rightarrow a_3 = 0 \Rightarrow a_5 = a_7 = \dots = 0$$

$$\text{og } a_0 = a_2 = a_4 = \dots = 0 \quad (a_0 \neq 0 \text{ hindrer rekkeavbrudd})$$

$$\varepsilon_2 = 5 \Rightarrow a_4 = a_6 = \dots = 0 \quad (\text{og } a_1 = a_3 = \dots = 0)$$

$$\varepsilon_3 = 7 \Rightarrow a_5 = a_7 = \dots = 0 \quad (\text{og } a_0 = a_2 = \dots = 0)$$

⋮

$$\varepsilon_k = 2k+1, \quad \psi_k(x) = \text{polynom av orden } k ; \quad k=0, 1, 2, \dots$$

$$\Rightarrow E_n = \frac{1}{2} \hbar \omega \varepsilon_n = \underline{\underline{(n+1/2) \hbar \omega}} ; \quad n=0, 1, 2, \dots$$

Normerte egenfunksjoner:

$$\psi_n(q) = \left(\frac{m\omega}{\pi\hbar}\right)^{1/4} \cdot \frac{1}{\sqrt{2^n \cdot n!}} \cdot e^{-m\omega q^2/2\hbar} \cdot H_n\left(\frac{q}{\sqrt{\hbar/m\omega}}\right)$$

Hermite - polynomene:

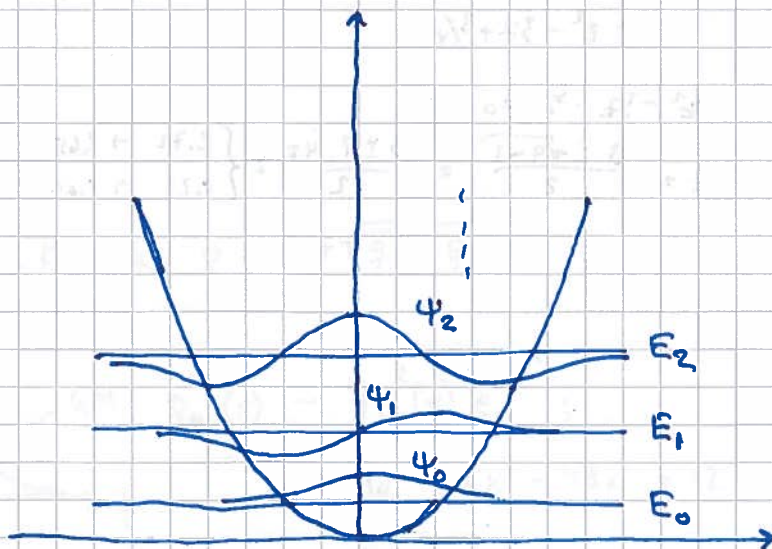
$$H_0(x) = 1$$

$$H_1(x) = 2x$$

$$H_2(x) = 4x^2 - 2$$

$$H_3(x) = 8x^3 - 12x$$

⋮



QM vs klassisk harm. osc. [PCH 3.5.5; DFG 2.3.2; IØ 3.4.d] (65)

- Sannsynlighetsfordeling

$$dP = \rho(q) dq = \text{sanns. for å finne partikkelen på } (q, q+dq)$$

$$\text{QM: } \rho_n(q) = |\Psi_n(q)|^2 = \text{sanns. tetthet for stasjonær tilstand med energi } E_n = (n+1/2)\hbar\omega$$

Klassisk:

$$dP = \text{andel oppholdstid på } (q, q+dq) = dt/T,$$

der $T = 2\pi/\omega =$ perioden og $dt = 2 dq/v(q)$ (faktor 2 pga fram og tilbake), med fart

$$v(q) = \sqrt{2K/m} = \sqrt{2(E-V)/m} = \sqrt{2E/m - \omega^2 q^2}$$

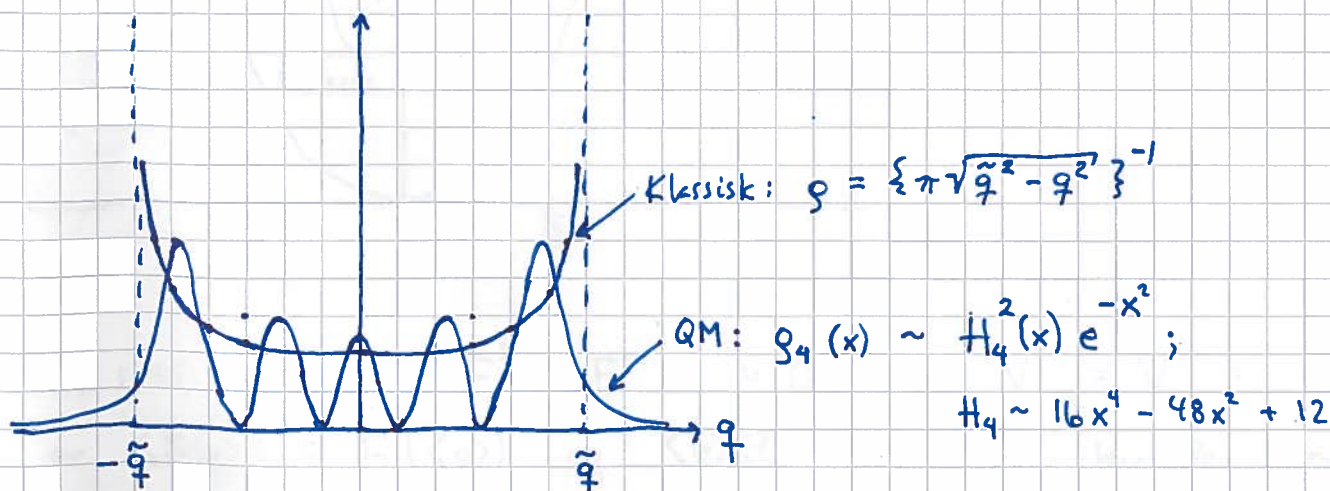
Dus

$$dP = \frac{2 dq/v(q)}{2\pi/\omega} = \frac{dq}{\pi} \cdot \frac{\omega}{\sqrt{2E/m - \omega^2 q^2}}$$

$$\Rightarrow \rho(q) = \frac{dP}{dq} = \left\{ \pi \sqrt{2E/m\omega^2 - q^2} \right\}^{-1}$$

Her må q ligge mellom de to klassiske vendepunktene $\pm \tilde{q}$, med $\tilde{q} = \sqrt{2E/m\omega^2}$, dus der $E = V$ og $K = 0$.

$$\text{Eks: } E = E_4 = \frac{9}{2}\hbar\omega, \quad \tilde{q} = \sqrt{9\hbar/m\omega} = 3\sqrt{\hbar/m\omega}$$



QM og klassisk $\rho(q)$ blir mer lik hverandre for økende verdi av n .

- Partikkelens bane

Klassisk: $q(t) = \tilde{q} \cos \omega t$, $p(t) \sim \sin \omega t$
 (hvis $q(0) = \tilde{q}$ og $\dot{q}(0) = 0$)

QM: For en stasjonær tilstand $\Psi_n(q, t)$ er $|\Psi_n|^2 = |\psi_n|^2$ uavhengig av t , og $\langle q \rangle = 0$, $\langle p \rangle = 0$.

Må ha bølgepakke for å beskrive en partikkel som svinger fram og tilbake,

$$\Psi(q, t) = \sum_n c_n \psi_n(q) e^{-iE_n t / \hbar}$$

F.eks. gaussformet starttilstand

$$\Psi(q, 0) = \left(\frac{m\omega}{\pi\hbar}\right)^{1/4} e^{-m\omega(q-\tilde{q})^2/2\hbar}$$

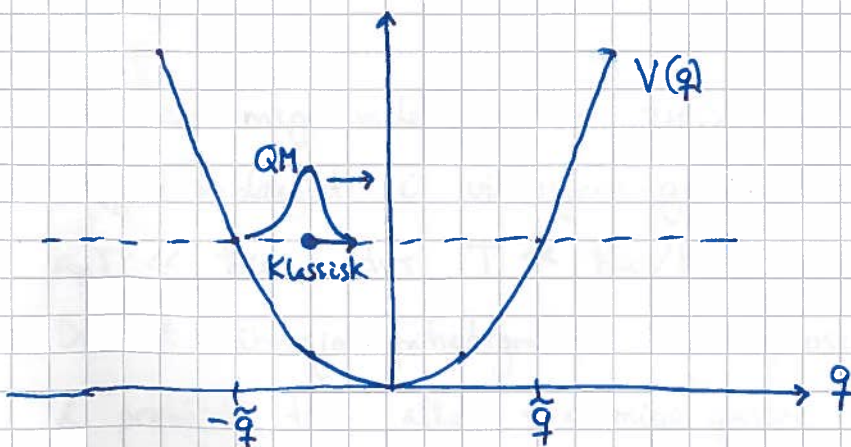
slik at $\langle q \rangle = \tilde{q}$ og $\langle p \rangle = 0$ ved $t=0$, som ovenfor.

Vet fra før at $c_n = \int_{-\infty}^{\infty} \psi_n^*(q) \Psi(q, 0) dq$. En kan nå vise at

$$|\Psi(q, t)|^2 = \left(\frac{m\omega}{\pi\hbar}\right)^{1/2} e^{-m\omega(q-\tilde{q} \cos \omega t)^2/\hbar}$$

dvs fremdeles gaussisk for $t > 0$, med

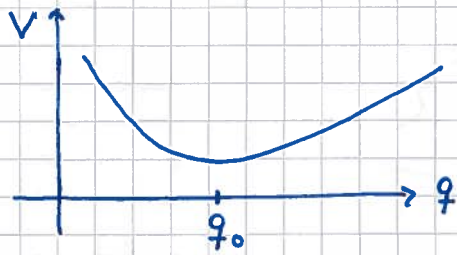
$\langle q \rangle(t) = \tilde{q} \cos \omega t$ og $\langle p \rangle(t) \sim \sin \omega t$, som klassisk.



Jf s.45: Dersom $F'' = F''' = \dots = 0$, dvs $V''' = V'''' = \dots = 0$, er $\langle F(q) \rangle = F(\langle q \rangle)$ og $\langle q \rangle(t)$ ~~blir~~ i QM blir den samme som den klassiske $q(t)$.

• Anvendelse(r)

Har i mange situasjoner et tilnærmet harmonisk potensial, med en stabil likevekt i $q = q_0$:



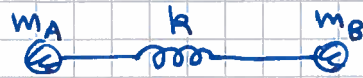
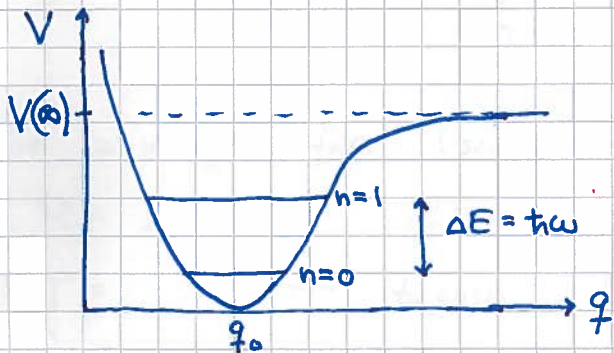
Nær q_0 kan vi skrive

$$V(q) = V(q_0) + (q - q_0) \underbrace{V'(q_0)}_{=0} + \frac{1}{2} (q - q_0)^2 V''(q_0) + \dots$$

$$\approx V(q_0) + \frac{1}{2} (q - q_0)^2 V''(q_0)$$

Dvs: Tilnærmet harm. osc. med "fjærkonstant" $k = V''(q_0)$, og med tiln. energinivåer $E_n \approx V(q_0) + (n + 1/2) \hbar \omega$ med $\omega = \sqrt{k/m} = \sqrt{V''(q_0)/m}$

Eks: Vibrasjon i toatomig molekyl



$$m = \frac{m_A m_B}{m_A + m_B} \quad (\text{reduert masse})$$

$$\omega = \sqrt{V''(q_0)/m}$$

For toatomige molekyler er typisk $\hbar \omega \sim \frac{1}{10}$ eV eller mer.

Da er molekylet i vibrasjons-grunntilstanden $n=0$ dersom

$k_B T \ll \hbar \omega$, dvs $T \ll \hbar \omega / k_B \sim 10^3$ K eller mer.

Dvs at vibrasjonsfrihetsgradene er "frosset ut" ved romtemperatur i praktisk tatt alle toatomige gasser. Dette forklarer at $C_v = \frac{5}{2} R$, og ikke $\frac{7}{2} R$, som forventet fra det klassiske equipartisjonspriippet.

Videre er dissosiasjonsenergien, dvs ΔE for reaksjonen

$AB \rightarrow A + B$, ikke $V(\infty)$, som forventet klassisk, men

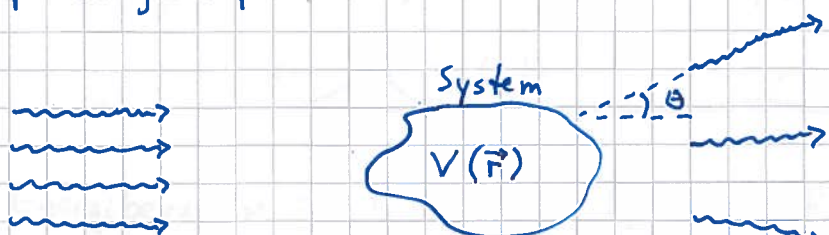
derimot $V(\infty) - E_0 = V(\infty) - \hbar \omega / 2$, dvs mindre enn forventet klassisk.

Spredning og tunneleffekt

(68)

[PCH 3.6 ; DFG 2.5 - 2.7 ; IØ 3.6]

Spredningseksperimenter :

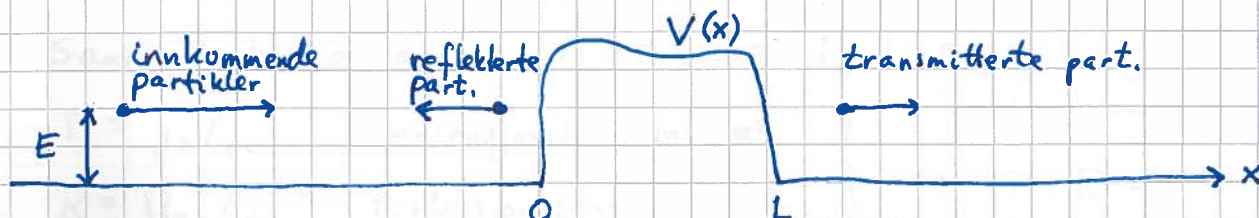


partikler inn
med energi E

Måling av intensiteten $I(\theta; E^0)$ til spredte partikler gir informasjon om systemet.

(TFY4205 QMII m.fl.)

Ser her på elastisk spredning i en dimensjon ($E' = E$).



Bare to mulige utfall (ser bort fra absorpsjon) :

$$\left. \begin{array}{l} R = \text{sanns. for refl.} \\ T = \text{---''--- transm.} \end{array} \right\} \Rightarrow \boxed{R + T = 1}$$

Anta partikkel inn fra venstre, med bestemt impuls $p = \hbar k$ og energi

$$E = \hbar^2 k^2 / 2m ; \quad V = 0 \text{ for } x < 0 \text{ og } x > L.$$

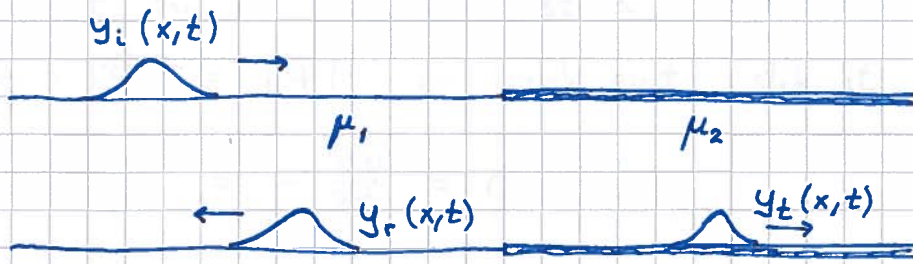
$$\left. \begin{array}{l} \text{Innkommende bølge : } \Psi_i(x) = e^{ikx} \\ \text{Reflektert --- : } \Psi_r(x) = r e^{-ikx} \\ \text{Transmittert --- : } \Psi_t(x) = t e^{ikx} \end{array} \right\} \begin{array}{l} x < 0 \\ \\ x > L \end{array}$$

$$\text{For } 0 < x < L : \quad -\frac{\hbar^2}{2m} \Psi''(x) + V(x) \Psi(x) = E \Psi(x)$$

Løses analytisk eller numerisk, og "matcher" Ψ og Ψ' til

$$\Psi_i(x) + \Psi_r(x) \text{ i } x=0 \quad \text{og} \quad \Psi_t(x) \text{ i } x=L.$$

Klassisk analogi : Transversal bølge på streng; ulike masse tettheter μ



Energibevarelse : $P_i = P_r + P_t$ ($P =$ midlere effekt)

$$\left. \begin{aligned} T = P_t/P_i &= \text{andel transmittert effekt} \\ R = P_r/P_i &= \text{andel reflektert effekt} \end{aligned} \right\} \Rightarrow T + R = 1$$

Med QM og plan partikkelbølge :

Sannsynlighetsbevarelse : $j_i = |j_r| + j_t$; $j = \text{Re} \left\{ \psi^* \frac{\hbar}{im} \psi' \right\}$

$$\left. \begin{aligned} T = j_t/j_i &= \text{transmisjonssannsynlighet} \\ R = |j_r|/j_i &= \text{refleksjonssannsynlighet} \end{aligned} \right\} \Rightarrow T + R = 1$$

$$j_i = \text{Re} \left\{ e^{-ikx} \frac{\hbar}{im} ik e^{ikx} \right\} = \frac{\hbar k}{m} \quad (= P/m = v)$$

$$j_r = \text{Re} \left\{ r^* e^{ikx} \frac{\hbar}{im} (-ik) r e^{-ikx} \right\} = -|r|^2 \frac{\hbar k}{m}$$

$$j_t = \text{Re} \left\{ t^* e^{-ikx} \frac{\hbar}{im} ik t e^{ikx} \right\} = |t|^2 \frac{\hbar k}{m}$$

$$\Rightarrow R = |r|^2, \quad T = |t|^2$$

$$j(x > L) = j_t = T \cdot \hbar k/m$$

$$\begin{aligned} j(x < 0) &= \text{Re} \left\{ (\psi_i^* + \psi_r^*) \frac{\hbar}{im} \frac{d}{dx} (\psi_i + \psi_r) \right\} \\ &= \frac{\hbar k}{m} - |r|^2 \frac{\hbar k}{m} + \frac{\hbar k}{m} \underbrace{\text{Re} \left\{ r^* e^{2ikx} - r e^{-2ikx} \right\}}_{= 0 \text{ da } \{ \dots \} \text{ er rent imaginær}} \\ &= (1-R) \frac{\hbar k}{m} = T \frac{\hbar k}{m} \end{aligned}$$

Drs $j(x < 0) = j(x > L)$, uavhengig av x .

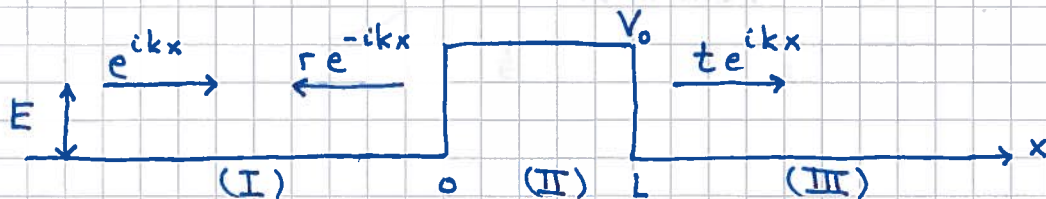
(70)

Som venket for en stasjonær tilstand $\Psi(x,t) = \psi(x)e^{-iEt/\hbar}$,

der $g = |\Psi|^2 = |\psi|^2$ er uavh. av t , slik at

$$\frac{\partial j}{\partial x} = -\frac{\partial g}{\partial t} = 0$$

Eks 1: Firkantbarriere



$$E < V_0: \psi_{II}'' - \kappa^2 \psi_{II} = 0; \quad \kappa^2 = \frac{2m(V_0 - E)}{\hbar^2}$$

$$\psi_{II}(x) = A e^{\kappa x} + B e^{-\kappa x}$$

$$E > V_0: \psi_{II}'' + q^2 \psi_{II} = 0; \quad q^2 = \frac{2m(E - V_0)}{\hbar^2}$$

$$\psi_{II}(x) = a e^{iqx} + b e^{-iqx}$$

Fastlegger A, B, r og t (evt a, b, r og t) ved å bruke at ψ og ψ' skal være kontinuerlige i $x=0$ og $x=L$.

[Se f.eks. s 63-64 i notater fra 2016 for detaljer.] Vi får:

$$E < V_0: T = \left\{ 1 + \frac{\sinh^2(k_0 L \sqrt{1 - E/V_0})}{4 \frac{E}{V_0} (1 - E/V_0)} \right\}^{-1}$$

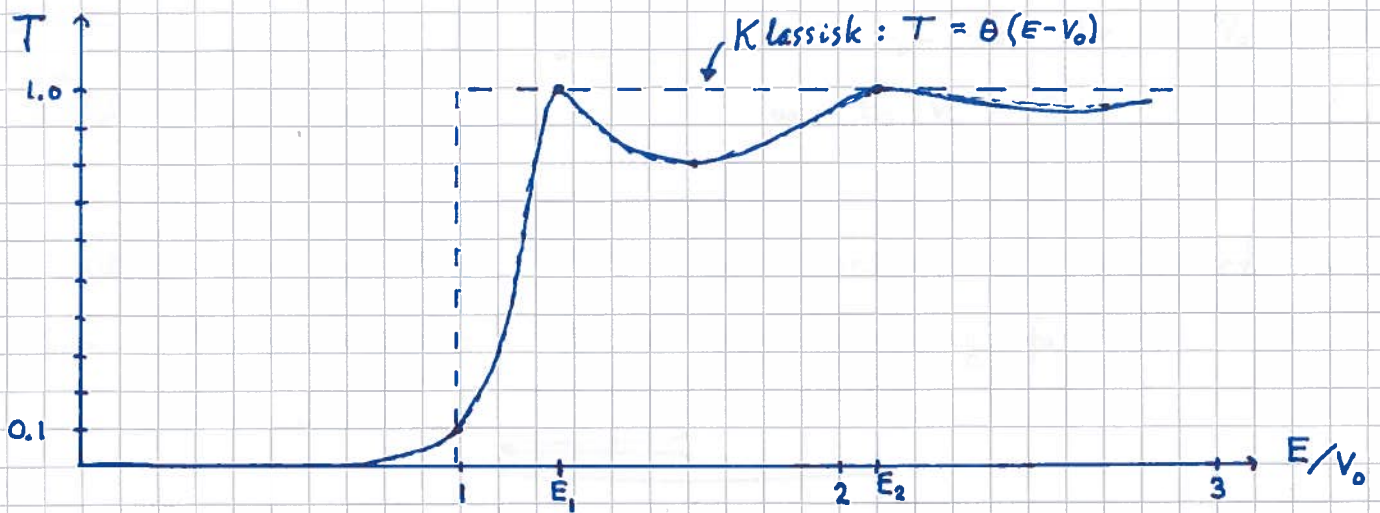
$$k_0^2 = \frac{2mV_0}{\hbar^2}$$

$$E > V_0: T = \left\{ 1 + \frac{\sin^2(k_0 L \sqrt{E/V_0 - 1})}{4 \frac{E}{V_0} (\frac{E}{V_0} - 1)} \right\}^{-1}$$

$$\left(\sinh x = \frac{1}{2}(e^x - e^{-x}) \quad ; \quad \sin x = \frac{1}{2i}(e^{ix} - e^{-ix}) \right)$$

Tal eksempel, $k_0 L = 6$, med diverse kommentarer:

(71)



• Tunneleffekt: $T > 0$ for $E < V_0$

• $R > 0$ også for $E > V_0$

$$\lim_{E \rightarrow V_0^+} \frac{\sin^2(k_0 L \sqrt{E/V_0 - 1})}{(4E/V_0)(E/V_0 - 1)} = \frac{(k_0 L)^2 (E/V_0 - 1)}{4(E/V_0 - 1)} = \left(\frac{k_0 L}{2}\right)^2$$

$$\Rightarrow T(E=V_0) = (1 + (k_0 L/2)^2)^{-1} \stackrel{\text{her}}{=} (1 + 3^2)^{-1} = 0.1$$

• Hvis $k_0 L \sqrt{1 - E/V_0}$ er ~~stor~~, dvs endel ~~store~~ større enn 1 (f.eks. $E \ll V_0$ og $k_0 L \gg 1$), er $\sinh(k_0 L \sqrt{1 - E/V_0}) \approx \frac{1}{2} \exp(k_0 L \sqrt{1 - E/V_0}) \gg 1$.

Da er

$$T \approx 16 \frac{E}{V_0} (1 - E/V_0) \exp(-2k_0 L \sqrt{1 - E/V_0})$$

dvs T avtar eksponentielt med barriereshøyde og -tykkelse.

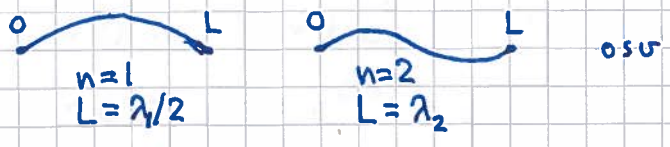
• Selv-interferens; resonans; stående bølger

$$T = 1 \quad \text{når} \quad \sin(k_0 L \sqrt{E/V_0 - 1}) = 0$$

$$\Rightarrow L \cdot \sqrt{\frac{2m}{\hbar^2} (E_n - V_0)} = n\pi \quad ; \quad n = 1, 2, 3, \dots$$

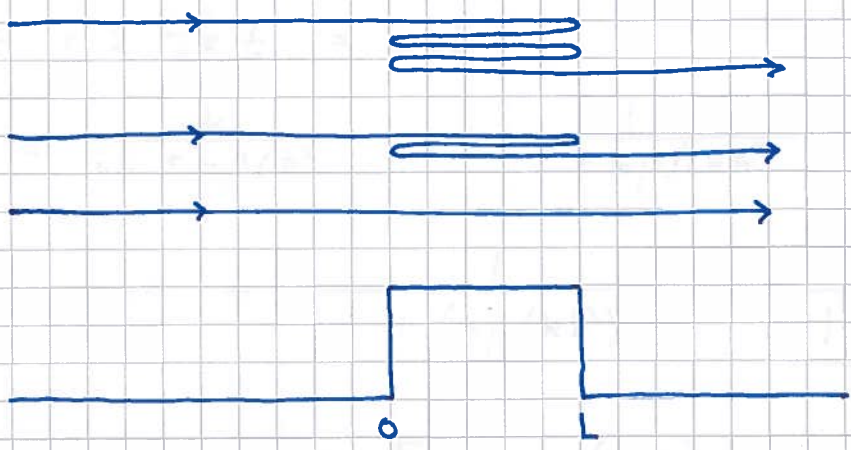
$$\Rightarrow K_n = E_n - V_0 = \frac{\hbar^2 q_n^2}{2m} \quad \text{med} \quad q_n = \frac{n\pi}{L}, \quad \text{dvs} \quad \lambda_n = \frac{2\pi}{q_n} = \frac{2L}{n}$$

Dvs, som stående bølger i barriereområdet :

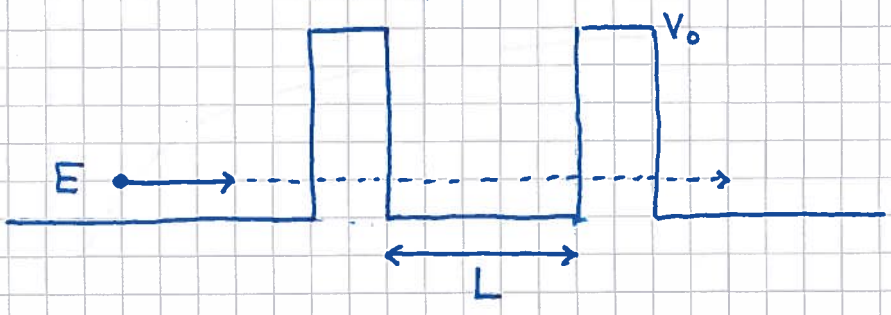


Med $k_0 L = 6$ blir $E_1/V_0 \approx 1.27$
 og $E_2/V_0 \approx 2.10$

Kan alternativt oppfatte $T=1$ som konstruktiv (selv-)interferens mellom "halvklassiske" baner med veilengdeforskjell $n \cdot 2L$:



Med to (eller flere) barrierer oppnås $T=1$ også når $E < V_0$:



Konstruktiv interferens / Resonans når "brønnområdet" mellom de to barrierene har bredde $L = n \cdot \lambda/2$; $n = 1, 2, \dots$

$\Rightarrow T=1$ når $E = E_n = \hbar^2 k_n^2 / 2m$ med $k_n = \frac{2\pi}{\lambda_n} = \frac{n\pi}{L}$

Resonant tunneling.